

УДК 534-8

Ю. П. Ладіков-Роев, О. К. ЧеремнихІнститут космічних досліджень Національної академії наук України
та Державного космічного агентства України, Київ**ВПЛИВ ВИСОКОЧАСТОТНОЇ ВІБРАЦІЇ НА ЗМІНУ ФРОНТУ
КРИСТАЛІЗАЦІЇ У ЦИЛІНДРИЧНІЙ АМПУЛІ БРИДЖМЕНА***Досліджено вплив високочастотної вібрації на стійкість фронту кристалізації в ампулі Бріджмена в умовах космічного експерименту. Знайдено можливий вид збурень фронту кристалізації.***ВСТУП**

В умовах космічного експерименту практично немає гравітаційної конвекції, яка б впливала на стійкість фронту кристалізації і на якість одержуваних кристалів. Між тим, як показали космічні експерименти [2], фронт кристалізації в ампулі Бріджмена все ж викривлюється. Однією з причин цього є вібрація (мікроприскорення) космічного апарата [4, 6], через що задача дослідження впливу вібрації на процес кристалізації набуває великої ваги [9, 10].

ПОСТАНОВКА ЗАДАЧІ

На рис. 1, *a* зображено схему установки кристалізації за методом Бріджмена [1, 5, 11]. Вона складається з двох циліндричних термостатів, температура одного з яких нижча (холодильник), а іншого — вища (нагрівач) за температуру плавлення T_c . Всередині термостатів знаходиться циліндрична ампула, заповнена речовиною. Завдяки відповідному вибору температур термостатів фронт кристалізації лежить в зазорі між холодильником і нагрівачем. В результаті частина речовини вище фронту кристалізації перебуває в рідкому стані, тобто у стані розплаву, де реалізуються конвективні течії [8], а також можуть генеруватися вихоріві структури [3]. Процес вирощування кристалу здійснюється за рахунок одночасного переміщення обох термостатів вгору. При цьому швидкість руху термостатів до-

рівнює швидкості руху фронту кристалізації. Як правило, ця швидкість мала ($V < 10^{-6}$ м/с), тому усюди нижче фронт кристалізації будемо вважати нерухомим [11].

Під час процесу кристалізації реалізуються такі умови. Розплавлена речовина заповнює ампулу від верхнього торця до фронту кристалізації (див. рис. 1), температура на якому постійна і дорівнює температурі плавлення, і який будемо вважати плоским протягом усього часу кристалізації. Розплав цілком змочує стінки ампули. Температуру T_0 на верхньому торці ампули можна вважати постійною.

У незбуреному стані площина $z=0$ є границею фазового переходу і має постійну температуру, що дорівнює температурі плавлення T_c . Уздовж осі z задано постійний градієнт температури

$$\frac{dT^*}{dz} = \frac{T_1 - T_c}{L} = \text{const}, \quad (1)$$

де T^* — температура рідкої фази. На незбуреній границі фазового переходу виконуються умови неперервності температури і теплового потоку:

$$T^*|_{z=0} = T_s^*|_{z=0} = T_c, \quad a \frac{\partial T^*}{\partial z}|_{z=0} = a_s \frac{\partial T_s^*}{\partial z}|_{z=0}, \quad (2)$$

де T_s^* — температура твердої фази, a і a_s — коефіцієнти теплопровідності рідкої і твердої фаз відповідно. З виразів (1) і (2) випливає, що у твердій фазі виконується співвідношення

$$\frac{dT_s^*}{dz} = \frac{T_1 - T_c}{L} \frac{a}{a_s}. \quad (3)$$

Система перебуває в однорідному полі сили тяжіння (у загальному випадку), а також піддається швидкій поступальній гармонійній вібрації з частотою ω , набагато більшою за характерну гідродинамічну частоту системи порядку a/L^2 , тобто є справедливою умова

$$\frac{\omega L^2}{a} \gg 1, \quad (4)$$

де a — коефіцієнт температуропровідності рідкої фази.

У збуреному стані виконуються такі умови. На збуреному фронті кристалізації температура постійна і дорівнює температурі плавлення

$$T|_{z=\varepsilon Z(x,y,t)} = T_s|_{z=\varepsilon Z(x,y,t)} = T_c, \quad (5)$$

де $z = \varepsilon Z(x, y, t)$ — збурення поверхні розділу фаз, $\varepsilon \ll 1$. На фазовій границі виконуються закони збереження маси і теплового потоку

$$(\vec{v} \cdot \vec{n})|_{z=\varepsilon Z(x,y,t)} = \frac{(\rho_0 - \rho_s)}{\rho_0} D_n, \quad (6)$$

$$(a_s \nabla T_s - a \nabla T) \cdot \vec{n}|_{z=\varepsilon Z(x,y,t)} = \rho_0 q_m D_n, \quad (7)$$

де \vec{v} — збурена швидкість, \vec{n} — нормаль до поверхні розділу фаз, ρ_0 і T (ρ_s і T_s) — густина і збурена температура рідкої (твердої) фази, D_n — нормальна швидкість границі розділу фаз, q_m — питома теплота плавлення. Для швидкості \vec{v} на твердих поверхнях задано умови прилипання:

$$(\vec{v} \times \vec{n})|_{z=\varepsilon Z(x,y,t)} = \vec{v}|_{z=L} = 0. \quad (8)$$

Для опису конвективного руху, що виникає в рідкій фазі в результаті викликаної вібрацією втрати стійкості, будемо використовувати систему рівнянь Буссінеска, що у рухливій системі координат має вигляд [1, 5, 6]

$$\frac{\partial \vec{v}}{\partial t} + (\vec{v} \cdot \nabla) \vec{v} = -\frac{\nabla p}{\rho_0} + \nu \Delta \vec{v} + g \beta T \vec{\gamma} - b \omega \sin(\omega t) \beta T \vec{k}, \quad (9)$$

$$\frac{\partial T}{\partial t} + \vec{v} \cdot \nabla T = a \Delta T, \quad (10)$$

$$\text{div} \vec{v} = 0, \quad (11)$$

де g — прискорення вільного падіння, $\vec{\gamma} = -\vec{g}/g$, p — тиск, $\beta = -(1/\rho_0)(\partial \rho_0 / \partial T)$ — коефіцієнт термічного розширення, a — температуропровідність розплаву, \vec{k} — одиничний вектор уздовж напрямку вібрації, b — амплітуда швидкості вібрації. Ми будемо припускати, що швидкість вібрації є скінченною, тобто

$$\frac{b R_0}{\nu} \approx 1. \quad (12)$$

У розглянутому випадку високої частоти вібрації (див. умови (5)) у всіх змінних можна виділити пульсаційну швидкозмінний і «повільний» компоненти. Для цього виберемо за характерні значення довжини, швидкості, часу і темпера-

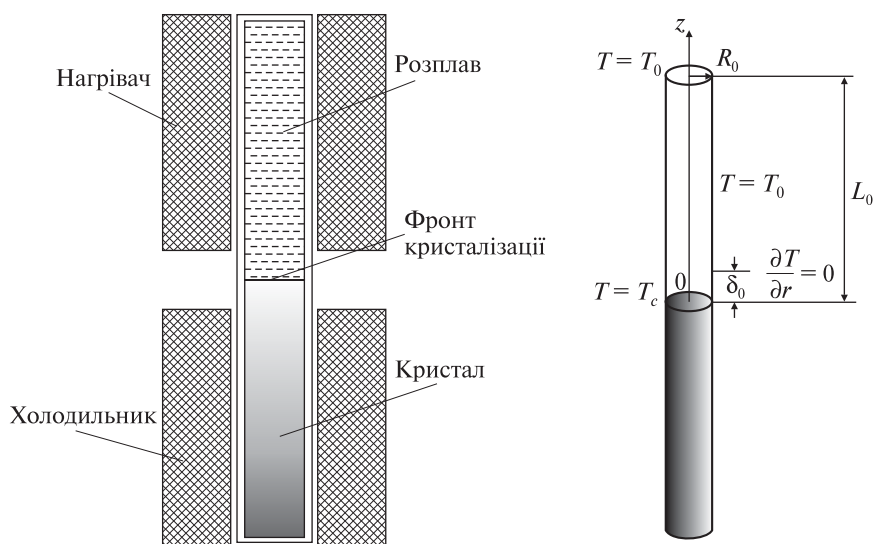


Рис. 1. Схематичне зображення установки кристалізації за методом Бриджмена

тури величини R_0 , v/R_0 , a/R_0^2 і $\Theta = T_1 - T_c$ відповідно, і згідно із стандартною процедурою методу багатьох масштабів [5, 7] уведемо послідовність часів

$$t_- = t'/\mu, \quad t = t', \quad t_1 = \mu t', \quad (13)$$

де $\mu = 1/\omega'$, а ω' і t' — безрозмірні частота вібрації і час. Будемо вважати уведені величини незалежними змінними функцій системи. Тоді похідна за часом від будь-якої функції часу $f(t)$ представляється у вигляді

$$\frac{\partial f}{\partial t} = \frac{1}{\mu} \frac{\partial f}{\partial t_-} + \frac{\partial f}{\partial t_0} + \mu \frac{\partial f}{\partial t_1}. \quad (14)$$

Враховуючи (13) і (14), система рівнянь (9)—(11) для безрозмірних величин переписується у такий спосіб:

$$\begin{aligned} \frac{1}{\mu} \frac{\partial \vec{v}}{\partial t_-} + \frac{\partial \vec{v}}{\partial t_0} + \mu \frac{\partial \vec{v}}{\partial t_1} + \text{Pr}^{-1}(\vec{v} \cdot \nabla) \vec{v} = \\ = -\nabla p + \Delta \vec{v} + Ra T \vec{\gamma} - \frac{1}{\mu} b \beta \Theta T \vec{k} \sin(t_-), \end{aligned} \quad (15)$$

$$\text{Pr} \left(\frac{1}{\mu} \frac{\partial T}{\partial t_-} + \frac{\partial T}{\partial t_0} + \mu \frac{\partial T}{\partial t_1} \right) + \vec{v} \cdot \nabla T = \Delta T, \quad (16)$$

$$\text{div} \vec{v} = 0, \quad (17)$$

де $Ra = \beta g \Theta L^3 / (a\nu)$ — число Релея, $\text{Pr} = \nu/a$ — число Прандтля, а штрих біля безрозмірної амплітуди швидкості вібрації $b' = \frac{bR_0}{\nu}$ в (9) опущено.

Представимо змінні у вигляді розкладу по ступенях μ :

$$\begin{aligned} p &= \mu^{-1} p + p_0 + \mu p_1 + \dots, \\ \vec{v} &= \vec{v}_0 + \mu \vec{v}_1 + \mu^2 \vec{v}_2 + \dots, \\ T &= T_0 + \mu T_1 + \mu^2 T_2 + \dots \end{aligned} \quad (18)$$

Порядок членів розкладу, що враховуються, обумовлений умовою скінченності вібрації (див. умову (4) та (12)). Підставляючи (18) у (15)—(17), в порядку розкладу по $1/\mu$ одержимо

$$-\frac{\partial \vec{v}_0}{\partial t_-} = \nabla p_- + b \beta \Theta T_0 \vec{k} \sin t_-, \quad (19)$$

$$\frac{\partial T_0}{\partial t_-} = 0. \quad (20)$$

Представимо \vec{v}_0 й p_- у вигляді

$$\vec{v}_0 = b \vec{V}_0 \cos t_- + \vec{u}_0, \quad p_- = b p_- \sin t_- + \tilde{p}_-, \quad (21)$$

де \vec{u}_0 і \tilde{p}_- не залежать від t_- . Підставляючи (21) у (19), одержимо рівняння

$$\nabla p_- = \vec{V}_0 - \beta \Theta T_0 \vec{k}. \quad (22)$$

У нульовому порядку розкладу будемо мати

$$\begin{aligned} \frac{\partial \vec{v}_1}{\partial t_-} + \frac{\partial \vec{v}_0}{\partial t_0} + (\vec{v}_0 \cdot \nabla) \vec{v}_0 = \\ = -\nabla p_0 + \Delta \vec{v}_0 + Ra T_0 \vec{\gamma} + b \beta \Theta T_1 \vec{k} \sin t_-, \end{aligned} \quad (23)$$

$$\text{Pr} \left(\frac{\partial T_1}{\partial t_-} + \frac{\partial T_0}{\partial t_0} \right) + \vec{v}_0 \cdot \nabla T_0 = \Delta T_0, \quad (24)$$

$$\text{div} \vec{v} = 0. \quad (25)$$

Будемо шукати T_1 у вигляді

$$T_1 = -b \text{Pr}^{-1} \sin t_- \vec{V}_0 \cdot \nabla T_0 + \tilde{T}_1, \quad (26)$$

де \tilde{T}_1 не залежить від t_- . Підставляючи (21) і (26) у (24), одержимо

$$\text{Pr} \frac{\partial T_0}{\partial t_0} + \vec{u}_0 \cdot \nabla T_0 = \Delta T_0.$$

Представимо далі \vec{v}_1 і p_0 у вигляді

$$\vec{v}_1 = b \vec{V}_1 \cos t_- + \vec{u}_1, \quad p_0 = b p_0 \sin t_- + \tilde{p}_0, \quad (27)$$

де \vec{u}_1 і \tilde{p}_0 не залежать від t_- . Підставляючи (21), (26), (27) у (23) і усереднюючи по t_- , одержимо

$$\begin{aligned} \frac{\partial \vec{u}_0}{\partial t} + (\vec{u}_0 \cdot \nabla) \vec{u}_0 + \frac{b^2}{2} (\vec{V}_0 \cdot \nabla) \vec{V}_0 = \\ = -\nabla \tilde{p}_0 + \Delta \vec{u}_0 + Ra T \vec{\gamma} + \frac{b^2 \beta \Theta}{2 \text{Pr}} (\vec{V}_0 \cdot \nabla T_0) \vec{k}. \end{aligned}$$

У результаті система рівнянь, які визначають усереднений рух рідкої фази, набуває вигляду

$$\begin{aligned} \frac{\partial \vec{u}}{\partial t} + (\vec{u} \cdot \nabla) \vec{u} + \frac{b^2}{2} (\vec{V} \cdot \nabla) \vec{V} = \\ = -\nabla p + \Delta \vec{u} + Ra T \vec{\gamma} + \frac{b^2 \beta \Theta}{2 \text{Pr}} (\vec{V}_0 \cdot \nabla T) \vec{k}, \end{aligned} \quad (28)$$

$$\text{Pr} \frac{\partial T}{\partial t} + \vec{u} \cdot \nabla T = \Delta T, \quad (29)$$

$$\text{rot}(\vec{V} - \beta \Theta T \vec{k}) = 0, \quad (30)$$

$$\text{div} \vec{u} = 0, \quad (31)$$

$$\text{div} \vec{V} = 0, \quad (32)$$

де вирази (31) і (32) випливають з рівняння (11). У (28)—(32) індекс «0» біля змінних \vec{u} , \vec{V} і T , а також тильда над змінною тиску опущені. Рівнян-

ня (28)—(32) потрібно доповнити рівнянням переносу тепла у твердій фазі

$$\text{Pr}_s \frac{\partial T_s}{\partial t} = \Delta T_s, \quad (33)$$

де $\text{Pr}_s = \nu/a_s$, a_s — коефіцієнт теплопровідності твердої фази. Таким чином, при зазначених вище умовах збурений стан системи описується рівняннями (28)—(33).

Представимо збурені величини у вигляді

$$\begin{aligned} \vec{u} &= \varepsilon \vec{u}', \quad \vec{V} = \vec{V}^* + \varepsilon \vec{V}', \\ T &= T^* + \varepsilon T', \\ p &= p + \varepsilon p', \\ T_s &= T_s^* + \varepsilon T_s', \end{aligned} \quad (34)$$

де зірочкою позначено змінні у незбуреному стані. Підставляючи (34) у (28)—(33) і нехтуючи членами порядку ε^2 , одержимо

$$\frac{b^2}{2} (\vec{V}^* \cdot \nabla) \vec{V}^* = -\nabla p^* + Ra T^* \vec{\gamma} + \frac{b^2 \beta \Theta}{2 \text{Pr}} (\vec{V}^* \cdot \nabla T^*), \quad (35)$$

$$\text{rot}(\vec{V}^* - \beta \Theta T^* \vec{k}) = 0, \quad (36)$$

$$\text{div} \vec{V}^* = 0, \quad (37)$$

$$\begin{aligned} \frac{\partial \vec{u}}{\partial t} + \frac{b^2}{2} [(\vec{V}^* \cdot \nabla) \vec{V}^* + (\vec{V}^* \cdot \nabla) \vec{V}^*] &= -\nabla p + \Delta \vec{u} + \\ + Ra T \vec{\gamma} + \frac{b^2 \beta \Theta}{2 \text{Pr}} [(\vec{V}^* \cdot \nabla T) + (\vec{V}^* \cdot \nabla T^*)] \vec{k}, \end{aligned} \quad (38)$$

$$\text{Pr} \frac{\partial T}{\partial t} + \vec{u} \cdot \nabla T^* = \Delta T, \quad (39)$$

$$\text{rot}(\vec{V} - \beta \Theta T \vec{k}) = 0, \quad (40)$$

$$\text{div} \vec{u} = 0, \quad (41)$$

$$\text{div} \vec{V} = 0, \quad (42)$$

$$\text{Pr}_s \frac{\partial T_s}{\partial t} = \Delta T_s. \quad (43)$$

Систему (38)—(43), (35)—(37) необхідно доповнити граничними умовами. На верхній і нижній нерухомих твердих границях маємо

$$\begin{aligned} T|_{z=l} = \vec{u}|_{z=l} = (\vec{V} \cdot \vec{n}_L)|_{z=l} = (\vec{V}^* \cdot \vec{n}_L)|_{z=l} &= 0, \\ T_s|_{z=-l} &= 0, \\ l &= \frac{L}{R_0}, \end{aligned} \quad (44)$$

де \vec{n}_L — нормаль до поверхні $z = l$. Для одержання граничних умов на фронті кристалізації розкла-

демо вирази (5)—(8) у ряд по малому параметру $\varepsilon Z(x, y, t)$ і підставимо в отриманий розклад співвідношення (34) та обмежимося членами порядку ε . Для безрозмірних змінних, з урахуванням (2), дістанемо

$$T|_{z=0} + \frac{\partial T^*}{\partial z} \Big|_{z=0} Z = 0, \quad (45)$$

$$T_s|_{z=0} + \frac{\partial T_s^*}{\partial z} \Big|_{z=0} Z = 0, \quad (46)$$

$$(\vec{u} \cdot \vec{n}_0)|_{z=0} = (\vec{V} \cdot \vec{n}_0)|_{z=0} = \hat{r} \frac{\partial Z}{\partial t}, \quad (47)$$

$$\begin{aligned} \sigma \left(\frac{\partial T}{\partial z} \Big|_{z=0} + \frac{\partial^2 T^*}{\partial z^2} \Big|_{z=0} Z \right) - \\ - \left(\frac{\partial T}{\partial z} \Big|_{z=0} + \frac{\partial^2 T^*}{\partial z^2} \Big|_{z=0} Z \right) = \Lambda \frac{\partial Z}{\partial t}, \end{aligned} \quad (48)$$

$$(\vec{u} \cdot \vec{n}_0)|_{z=0} = 0, \quad (49)$$

де $\sigma = a_s/a$, $\hat{r} = [\text{Pr}(\rho_0 - \rho_s)]/\rho_0$, $\Lambda = (\nu \rho_0 q_m)/(\Theta a)$, \vec{n}_0 — нормаль незбуреної фазової границі.

СТІЙКІСТЬ ПОВЕРХНІ ФАЗОВОГО ПЕРЕХОДУ

Скориставшись викладеним методом швидких вібраційних впливів, дослідимо тепер їхній вплив на стійкість фронту кристалізації в ампулі Бріджмена. У циліндричній системі координат рівняння (28)—(33) мають вигляд

$$\begin{aligned} \frac{\partial u_r}{\partial t} = -\frac{1}{r} \frac{\partial p}{\partial r} + \frac{\partial^2 u_r}{\partial r^2} + \frac{1}{r^2} \frac{\partial^2 u_r}{\partial \theta^2} + \frac{\partial^2 u_r}{\partial z^2} + \\ + \frac{1}{r} \frac{\partial u_r}{\partial r} + \frac{2}{r^2} \frac{\partial u_\theta}{\partial \theta} - \frac{u_r}{r^2}, \end{aligned} \quad (50)$$

$$\begin{aligned} \frac{\partial u_\theta}{\partial t} = -\frac{1}{r} \frac{\partial p}{\partial \theta} + \frac{\partial^2 u_\theta}{\partial r^2} + \frac{1}{r^2} \frac{\partial^2 u_\theta}{\partial \theta^2} + \frac{\partial^2 u_\theta}{\partial z^2} + \\ + \frac{1}{r} \frac{\partial u_\theta}{\partial r} + \frac{2}{r^2} \frac{\partial u_r}{\partial \theta} - \frac{u_\theta}{r^2}, \end{aligned} \quad (51)$$

$$\begin{aligned} \frac{\partial u_z}{\partial t} = -\frac{\partial p}{\partial z} + \frac{\partial^2 u_z}{\partial r^2} + \frac{1}{r^2} \frac{\partial^2 u_z}{\partial \theta^2} + \frac{\partial^2 u_z}{\partial z^2} + \\ + \frac{1}{r} \frac{\partial u_z}{\partial r} + Ra T + Ra_\omega V_z, \end{aligned} \quad (52)$$

$$\text{Pr} \frac{\partial T}{\partial t} - u_z = \frac{\partial^2 T}{\partial r^2} + \frac{1}{r} \frac{\partial T}{\partial r} + \frac{1}{r^2} \frac{\partial^2 T}{\partial \theta^2} + \frac{\partial^2 T}{\partial z^2}, \quad (53)$$

$$\frac{\partial V_z}{\partial \theta} - \frac{\partial(rV_\theta)}{\partial z} = \beta\Theta \frac{\partial T}{\partial \theta}, \quad (54)$$

$$\frac{\partial V_z}{\partial r} - \frac{\partial V_r}{\partial r} = \beta\Theta \frac{\partial T}{\partial r}, \quad (55)$$

$$\frac{\partial(rV_\theta)}{\partial r} - \frac{\partial V_r}{\partial \theta} = 0, \quad (56)$$

$$\frac{\partial u_r}{\partial t} + \frac{u_r}{r} + \frac{\partial u_z}{\partial z} + \frac{1}{r^2} \frac{\partial u_\theta}{\partial \theta} = 0 \quad (57)$$

$$\frac{\partial V_r}{\partial r} + \frac{V_r}{r} + \frac{\partial V_z}{\partial z} + \frac{1}{r} \frac{\partial V_\theta}{\partial \theta} = 0, \quad (58)$$

$$\text{Pr}_s \frac{\partial T_s}{\partial t} = \frac{\partial^2 T_s}{\partial r^2} + \frac{1}{r} \frac{\partial T_s}{\partial r} + \frac{1}{r^2} \frac{\partial^2 T_s}{\partial \theta^2} + \frac{\partial^2 T_s}{\partial z^2}. \quad (59)$$

Їх необхідно доповнити граничними умовами

$$T|_{z=1} = u_r|_{z=1} = u_\theta|_{z=1} = u_z|_{z=1} = V_z|_{z=1} = 0,$$

$$T_s|_{z=-1} = 0, \quad (60)$$

$$T|_{z=0} = -Z, \quad (61)$$

$$T_s|_{z=0} = -Z, \quad (62)$$

$$u_z|_{z=0} = V_z|_{z=0} = h \frac{\partial Z}{\partial t}, \quad (63)$$

$$\sigma \frac{\partial T_s}{\partial z} \Big|_{z=0} - \frac{\partial T}{\partial z} \Big|_{z=0} = \Lambda \frac{\partial Z}{\partial t}, \quad (64)$$

$$u_r|_{z=0} = u_\theta|_{z=0} = 0, \quad (65)$$

$$T|_{r=1} = u_r|_{r=1} = u_\theta|_{r=1} = u_z|_{r=1} = V_r|_{r=1} = 0, \quad (66)$$

де $h = [\text{Pr}(\rho_0 - \rho_s)]/\rho_0$, а σ і Λ — ті ж, що й у (48).

Нехай збурення фронту кристалізації задається виразом

$$Z(r, \theta, t) = \zeta(r) \cos(n\theta) \exp(-\Omega t), \quad (67)$$

де $n = 0, 1, 2, \dots$. Розв'язок задачі (50)—(66) будемо шукати у вигляді

$$u_{r(z)} = u_{r(z)A}(r, z) \cos(n\theta) \exp(-\Omega t), \quad (68)$$

$$u_\theta = u_{\theta A}(r, z) \sin(n\theta) \exp(-\Omega t), \quad (69)$$

$$V_{r(z)} = V_{r(z)A}(r, z) \cos(n\theta) \exp(-\Omega t), \quad (70)$$

$$V_\theta = u_{\theta A}(r, z) \sin(n\theta) \exp(-\Omega t), \quad (71)$$

$$T_{(s)} = T_{(s)A}(r, z) \cos(n\theta) \exp(-\Omega t), \quad (72)$$

де індексом A позначені амплітуди збурень. Підставляючи (70), (71) у (54)—(56), (58), одержимо

$$-nV_z + r \frac{\partial V_\theta}{\partial z} = -n\beta\Theta T, \quad (73)$$

$$\frac{\partial V_z}{\partial r} - \frac{\partial V_r}{\partial r} = \beta\Theta \frac{\partial T}{\partial r}, \quad (74)$$

$$\frac{\partial(rV_\theta)}{\partial r} + nV_r = 0, \quad (75)$$

$$\frac{\partial V_r}{\partial r} + \frac{V_r}{r} + \frac{\partial V_z}{\partial z} - \frac{nV_\theta}{r} = 0. \quad (76)$$

Індекс A біля амплітуд тут і далі для зручності опущено. Розв'язуючи цю систему, будемо мати

$$V_z = T - \frac{r}{n} \frac{\partial V_\theta}{\partial z}, \quad (77)$$

$$V_r = -\frac{1}{n} \frac{\partial(rV_\theta)}{\partial r}, \quad (78)$$

$$\left(\frac{\partial^2}{\partial r^2} + \frac{1}{r} \frac{\partial}{\partial r} - \frac{n^2}{r^2} + \frac{\partial^2}{\partial z^2} \right) (rV_\theta)_r = n \frac{\partial T}{\partial z}. \quad (79)$$

Розглянемо рівняння (59). Підставляючи в нього вираз (68), одержимо

$$\frac{\partial^2 T_s}{\partial r^2} + \frac{1}{r} \frac{\partial T_s}{\partial r} + \frac{\partial^2 T_s}{\partial z^2} - \left(\text{Pr}_s \Omega + \frac{n^2}{r^2} \right) T_s = 0. \quad (80)$$

Будемо шукати T_s у вигляді

$$T_s(r, z) = I_s(z) \zeta(r). \quad (81)$$

Підставляючи (81) у (80) і розділяючи змінні, дістаємо два рівняння

$$\frac{\partial^2 I_s}{\partial z^2} - \tau^2 I_s = 0, \quad (82)$$

$$r^2 \zeta'' + r \zeta' + (\chi^2 r^2 - n^2) \zeta = 0, \quad (83)$$

де τ^2 — константа розділення, а $\chi^2 = \tau^2 - \text{Pr}_s \Omega$. Легко бачити, що розв'язком рівняння (83) є функція Бесселя $J_n(\chi r)$. Оскільки в силу граничних умов $T_s|_{r=1} = 0$, то має виконуватися співвідношення

$$J(\chi) = 0. \quad (84)$$

Звідси випливає, що

$$\zeta(r) = \sum_{k=1}^{\infty} C_k J_n(\chi_k r), \quad (85)$$

а загальний розв'язок рівняння (80) має вигляд

$$T_s(r, z) = \sum_{k=1}^{\infty} C_k I_{sk}(z) J_n(\chi_k r),$$

де χ_k — k -й корінь рівняння (85), а C_k — деякі константи. $I_{sk}(z)$ повинні задовольняти рівняння (82). Звідси з урахуванням граничної умови при $z = -1$ випливає, що

$$I_{sk}(z) = \text{sh}[\sqrt{\chi_k^2 + \text{Pr}_s \Omega}(z+1)],$$

звідки остаточно одержуємо

$$T_s(r, z) = \sum_{k=1}^{\infty} C_k \text{sh}[\sqrt{\chi_k^2 + \text{Pr}_s \Omega}(z+1)] J_n(\chi_k r). \quad (86)$$

Підставимо вирази (68), (72) у рівняння (53), одержимо

$$\frac{\partial^2 T}{\partial r^2} + \frac{1}{r} \frac{\partial T}{\partial r} + \frac{\partial^2 T}{\partial z^2} - \left(\text{Pr}_s \Omega + \frac{n^2}{r^2} \right) T = -u_z. \quad (87)$$

Представимо T й u_z у вигляді

$$T(r, z) = \sum_{k=1}^{\infty} C_k J_k(z) J_n(\chi_k r), \quad (88)$$

$$u_z = \sum_{k=1}^{\infty} C_k U_{zk}(z) J_n(\chi_k r). \quad (89)$$

Підставляючи вирази (88) і (89) у рівняння (87), одержимо

$$U_{zk}(z) = \left(\frac{d^2}{dz^2} - \chi_k^2 - \text{Pr}_s \Omega \right) I_k(z). \quad (90)$$

Повернемося до рівняння (79). Покладемо

$$rV_{\theta} = \sum_{k=1}^{\infty} C_k W_{\theta k}(z) J_n(\chi_k r). \quad (91)$$

Підставляючи (91) у (79), одержимо

$$\frac{\partial^2 W_{\theta k}}{\partial z^2} - \chi_k^2 W_{\theta k} = n \frac{dI_k}{dz}. \quad (92)$$

Будемо шукати $W_{\theta k}$ у вигляді

$$W_{\theta k} = A_1(z) e^{\chi_k z} + A_2(z) e^{-\chi_k z}. \quad (93)$$

Підставляючи (93) у рівняння (92), одержимо систему рівнянь для визначення $A_1(z)$ і $A_2(z)$:

$$\begin{cases} \chi_k (A_1' e^{\chi_k z} + A_2' e^{-\chi_k z}) = n \frac{dI_k}{dz}, \\ A_1' e^{\chi_k z} + A_2' e^{-\chi_k z} = 0. \end{cases} \quad (94)$$

Розв'язуючи її, будемо мати

$$A_1' = \frac{ne^{-\chi_k z}}{2\chi_k} \frac{dI_k}{dz}, \quad A_2' = -\frac{ne^{\chi_k z}}{2\chi_k} \frac{dI_k}{dz}.$$

Звідси знаходимо

$$W_{\theta k} = \frac{n}{\chi_k} \int_0^z \text{sh}[\chi_k(z-s)] \frac{dI_k}{dz} ds, \quad (95)$$

або остаточно

$$rV_{\theta} = \sum_{k=1}^{\infty} \frac{C_k n}{\chi_k} \int_0^z \text{sh}[\chi_k(z-s)] \frac{dI_k}{dz} ds J_n(\chi_k r). \quad (96)$$

Знаючи rV_{θ} , за допомогою співвідношень (77), (78) можна знайти V_z і V_r . Підставляючи (96) у (78), (79), дістанемо

$$V_z = \sum_{k=1}^{\infty} C_k \left(I_k - \int_0^z \text{ch}[\chi_k(z-s)] \frac{dI_k}{ds} ds \right) J_n(\chi_k r), \quad (97)$$

$$V_r = \sum_{k=1}^{\infty} C_k \int_0^z \text{sh}[\chi_k(z-s)] \frac{dI_k}{ds} ds J_{n+1}(\chi_k r). \quad (98)$$

Підставимо тепер співвідношення (68), (69) у рівняння (50)–(52), (57). Одержимо систему рівнянь

$$\frac{1}{r} \frac{\partial p}{\partial r} = L(u_r) - \frac{1}{r^2} (u_r + 2nu_{\theta}), \quad (99)$$

$$-\frac{np}{r} = L(u_{\theta}) - \frac{1}{r^2} (u_{\theta} + 2nu_r), \quad (100)$$

$$\frac{\partial p}{\partial z} = L(u_z) + RaT + Ra_{\omega} V_z, \quad (101)$$

$$\frac{1}{r} \frac{\partial u_r}{\partial r} + \frac{1}{r} (u_r + nu_{\theta}) + \frac{\partial u_z}{\partial z} = 0, \quad (102)$$

де

$$L = \frac{\partial^2}{\partial r^2} + \frac{1}{r} \frac{\partial}{\partial r} + \left(\frac{n^2}{r^2} - \Omega \right) + \frac{\partial^2}{\partial z^2}.$$

Виключаючи із (99)–(101) тиск, ці рівняння можна переписати у такий спосіб

$$\begin{aligned} -\frac{1}{m} \frac{\partial}{\partial r} &= \left[r \left(L(u_{\theta}) - \frac{1}{r^2} (u_{\theta} + 2nu_r) \right) \right] = \\ &= L(u_r) - \frac{1}{r^2} (u_r + 2nu_{\theta}), \end{aligned} \quad (103)$$

$$\begin{aligned} -\frac{r}{n} \frac{\partial}{\partial z} \left(L(u_{\theta}) - \frac{1}{r^2} (u_{\theta} + 2nu_r) \right) &= \\ &= L(u_z) + RaT + Ra_{\omega} V_z. \end{aligned} \quad (104)$$

Представимо далі u_r і u_{θ} у вигляді

$$u_r = \sum_{k=1}^{\infty} C_k U_{rk}(z) J_n(\chi_k r), \quad (105)$$

$$u_{\theta} = \sum_{k=1}^{\infty} C_k U_{\theta k}(z) J_n(\chi_k r). \quad (106)$$

Підставляючи (105), (106) у (102)—(104) і використовуючи рекурентні співвідношення для функцій Бесселя, з урахуванням (88)—(90), (97), а також граничних умов (60)—(66), ми одержимо замкнуту лінійну систему рівнянь відносно $U_{rk}(z)$, $U_{zk}(z)$, $U_{\theta k}(z)$, і $I_k(z)$, яку можна звести до одного звичайного диференціального рівняння восьмого порядку. Отримане рівняння призводить до однорідної системи з дев'яти лінійних алгебраїчних рівнянь, рівність нулевій детермінанта якої, а також характеристичне рівняння вихідного диференціального рівняння визначають залежність Ω від параметрів задачі. Проілюструємо сказане.

Розглянемо докладніше випадок осової симетрії задачі. У цьому випадку у вихідних рівняннях необхідно покласти $n = 0$ і $u_\theta = 0$. Після цього система (99)—(102) набуває вигляду

$$\frac{\partial p}{\partial r} = \left[\frac{\partial^2}{\partial r^2} + \frac{1}{r} \frac{\partial}{\partial r} - \Omega + \frac{\partial^2}{\partial z^2} \right] u_r, \quad (107)$$

$$\frac{\partial p}{\partial z} = \left[\frac{\partial^2}{\partial r^2} + \frac{1}{r} \frac{\partial}{\partial r} - \Omega + \frac{\partial^2}{\partial z^2} \right] u_z + RaT + Ra_\omega V_z, \quad (108)$$

$$\frac{\partial u_r}{\partial r} + \frac{u_r}{r} + \frac{\partial u_z}{\partial z} = 0. \quad (109)$$

Визначимо u_r й u_z у такий спосіб:

$$u_r = \frac{U_r(z)}{\alpha J_0(\chi_1)} \left[J_0'(\chi_1 r) - r J_0'(\chi_1) \right], \quad (110)$$

$$u_z = U_z(z) \left[\frac{J_0(\chi_1 r)}{J_0(\chi_1)} - 1 \right]. \quad (111)$$

Підставивши (110), (111) у (109), легко переконатися, що умова нестисливості задовольняється при

$$U_z'(z) = U_r(z), \quad (112)$$

$$2J_0'(\chi_1) + \alpha J_0(\chi_1) = 0, \quad (113)$$

$$\alpha J_0'(\chi_1) + \frac{\alpha^2}{2} J_0(\chi_1) = 0. \quad (114)$$

У випадку аксіальної симетрії система (73)—(76) буде мати вигляд

$$\frac{\partial V_z}{\partial r} - \frac{\partial V_r}{\partial r} = \beta \Theta \frac{\partial T}{\partial r}, \quad (115)$$

$$\frac{\partial V_r}{\partial r} + \frac{V_r}{r} + \frac{\partial V_z}{\partial z} = 0. \quad (116)$$

Будемо шукати V_r і V_z у вигляді

$$V_r = \frac{1}{k_1} J_0'(\chi_k r) W(z), \quad (117)$$

$$V_z = J_0(\chi_k r) W'(z), \quad (118)$$

де k_1 — перший корінь рівняння $J_1(k) = 0$. Легко перевірити безпосередньою підстановкою, що вирази (117), (118) задовольняють умову нестисливості (116). Підставляючи (117), (118) і (88) у (115), одержимо рівняння

$$\begin{aligned} J_0(\chi_k r) [W''(z) - k_1^2 W(z)] &= \\ &= k_1 \sum_{k=1}^{\infty} C_k I_k(z) J_0'(\chi_k r). \end{aligned} \quad (119)$$

Розкладаючи ліву частину рівняння в ряд Фур'є — Бесселя, будемо мати

$$\begin{aligned} \sum_{k=1}^{\infty} [W_k''(z) - k_1^2 W_k(z)] J_0(\chi_k r) &= \\ &= k_1 \sum_{k=1}^{\infty} C_k I_k(z) J_0'(\chi_k r), \end{aligned} \quad (120)$$

де

$$\begin{aligned} W_k''(z) - k_1^2 W_k(z) &= \\ &= \frac{2[W''(z) - k_1^2 W(z)]}{J_1^2(\chi_k)} \int_0^1 r J_0'(k_1 r) J_0(\chi_k r) dr. \end{aligned} \quad (121)$$

З виразу (120) випливає, що

$$W_k''(z) - k_1^2 W_k(z) = C_k I_k(z). \quad (122)$$

Звідси з урахуванням (97) і (118) одержимо

$$\begin{aligned} W_{zk}(z) &= C_k k_1^2 \int_0^z \text{ch}[k_1(z-s)] I_k(s) ds + \\ &+ C_1 e^{k_1 z} + C_2 e^{-k_1 z}. \end{aligned}$$

Константи C_1 і C_2 визначаються з граничних умов при $z = 0$ і $z = 1$.

Виключимо з рівнянь (107), (108) тиск, одержимо

$$\begin{aligned} \left[\frac{1}{r} \frac{\partial}{\partial r} \left(r \frac{\partial}{\partial r} \right) - \Omega + \frac{\partial^2}{\partial z^2} \right] \left(\frac{\partial u_z}{\partial r} - \frac{\partial u_r}{\partial z} \right) + \\ + Ra \frac{\partial T}{\partial r} + Ra \frac{\partial V_z}{\partial r} = 0. \end{aligned} \quad (123)$$

Помножимо це рівняння на r^2 , щоб позбутися особливостей при $r = 0$, після чого, використовуючи вирази для u_r , u_z , T , і V_z , розкладемо залежні від r функції у ряд Фур'є — Бесселя. Пом-

ноживши далі (123) на $rJ_0(\chi_k r)$ та інтегруючи від 0 до 1, ми одержимо рівняння виду

$$\sum_{m=1}^4 B_m U_{zk}^{(4-m)}(z) + B_5 Ra I_k(z) + B_6 Ra_\omega W_k(z) = 0, \quad (124)$$

де B_m — коефіцієнти, що з'являються після інтегрування і залежать від Ω . Це рівняння необхідно доповнити співвідношеннями

$$\begin{aligned} W_k''(z) - k_1^2 W_k(z) &= C_k I_k(z), \\ U_{zk}'(z) &= I_k''(z) - \chi_k^2 I_k(z). \end{aligned} \quad (125)$$

Рівняння (122), (124), (125) можна звести до одного рівняння восьмого порядку відносно $W_k(z)$:

$$\sum_{m=0}^8 D_m W_k^{(8-m)}(z) = 0, \quad (126)$$

де коефіцієнти D_m залежать тепер також від Ra і Ra_ω . Розв'язуючи це рівняння, одержимо

$$W_k(z) = \sum_{m=0}^8 K_m e^{\lambda_m z}, \quad (127)$$

де λ_m — корені характеристичного рівняння:

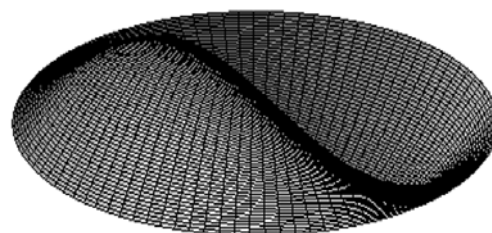
$$\sum_{m=0}^8 D_m K_m \lambda^{(8-m)} = 0. \quad (128)$$

Граничні умови для U_{zk} , W_k і I_k мають вигляд

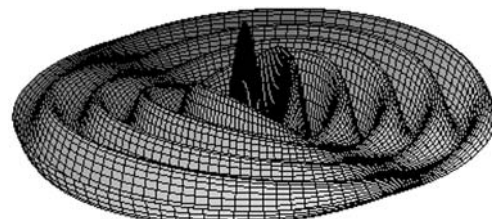
$$\begin{aligned} U_{zk}'(0) &= U_{zk}'(1) = 0, \\ U_{zk}(0) &= U_{zk}(1) = 0, \\ W_k(0) &= W_k(1) = 0, \\ I_k(1) &= 0, I_k(0) = I_{sk}(0), \\ \sigma I_{sk}'(0) - I_k'(0) &= -\Omega \Lambda. \end{aligned} \quad (129)$$

Звідси з урахуванням співвідношень (122), (125) ми одержимо дев'ять граничних умов стосовно W_k . Далі, аналогічно тому, як це робилося у попередньому розділі, підставивши вирази (127) у ці граничні умови, ми знову прийдемо до системи дев'яти однорідних лінійних рівнянь, з умови рівності нулеві детермінанта якої і характеристичного рівняння (128) можна буде визначити залежність Ω від параметрів задачі.

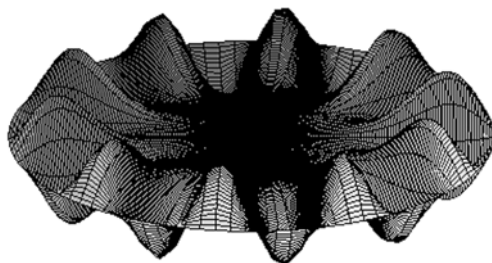
Таким чином, у випадку осьової симетрії збурення фронту кристалізації є суперпозицією збурень, що описуються функціями Бесселя нульового порядку $J_0(\chi_k r)$ з різними χ_k , де χ_k — k -й корінь рівняння $J_0(\chi r) = 0$. При відсутності



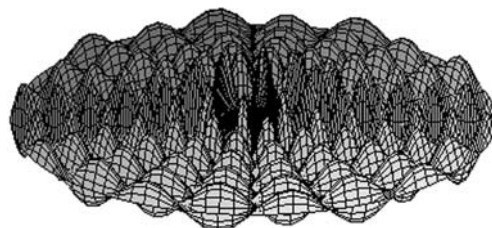
$k = 1, n = 1$



$k = 10, n = 1$



$k = 1, n = 10$



$k = 10, n = 10$

Рис. 2. Вигляд збурення фронту кристалізації при різних значеннях k і n

осьової симетрії збурення фронту кристалізації будуть залежати також і від θ . Вони можуть бути представлені як суперпозиція функцій вигляду $J_0(\chi_k r) \cos(n\theta)$, де n — цілі числа. На рис. 2 показано вигляд збурень для різних значень χ_k і n . Як видно, комірчаста структура, що спостерігається у ряді космічних експериментів [2], виникає при досить великих k і n та відсутності осьової симетрії.

ВИСНОВКИ

У роботі досліджено вплив високочастотної поступальної вібрації на стійкість поверхні розділу фаз кристал — рідина при спрямованій кристалізації розплаву бінарної суміші в ампулі Бріджмена в умовах космічного експерименту.

Отримано рівняння, що описують осереднений рух рідкої фази за наявності високочастотної вібрації. Розглянуто вплив високочастотної вібрації на стійкість поверхні розділу фаз в ампулі. Вихідну задачу зведено до системи лінійних алгебраїчних рівнянь. Знайдено вигляд можливих збурень фронту кристалізації.

Роботу виконано в рамках Комплексної програми НАН України з космічних досліджень.

1. Гершуни Г. З., Жуховицкий Е. М. Конвективная устойчивость несжимаемой жидкости. — М.: Наука, 1972. — 296 с.
2. Земсков В. С. Новые научные представления о процессах, сопровождающих направленную кристаллизацию расплавов. Итог экспериментов по выращиванию кристаллов полупроводников на космических аппаратах // Механика невесомости. Итоги и перспективы фундаментальных исследований гравитационно-чувствительных систем: Сб. тр. VII Российского симп. (Москва 11—14 апреля 2000 г.). — М.: Ин-т проблем механики РАН, 2000. — С. 34—51.
3. Ладиков-Роев Ю. П., Рабочий П. П., Черемных О. К. О структуре конвективных течений в установке кристаллизации Бриджмена при больших числах Грасгофа // Прикладна гідромеханіка. — 2006. — 8, № 2. — С. 57—63.
4. Ладиков-Роев Ю. П., Рабочий П. П., Черемных О. К. Влияние поступательной вибрации и равномерного вращения на процессы теплопереноса в расплаве вещества при выращивании кристаллов методом Бриджмена в условиях микрогравитации // Прикладна гідромеханіка. — 2007. — 9, № 1. — С. 45—53.
5. Ладиков-Роев Ю. П., Черемных О. К. Математические модели сплошных сред. — Киев: Наук. думка, 2010. — 552 с.

6. Любимов Д. В., Любимова Т. П., Черепанов А. А. Динамика поверхностей раздела в вибрационных полях. — М.: Физматлит, 2003. — 215 с.
7. Найфэ А. Введение в методы возмущений. — М.: Мир, 1984. — 365 с.
8. Akimenko V. V., Cheremnykh O. K. Modeling of vortical flows on the background of two-dimensional process of convective heat and mass transfer // J. Automation and Inform. Sci. — 36, N 3. — P. 35—45.
9. Fedoseyev A. I., Alexander J. I. D. Investigation of vibrational control of convective flows in Bridgman melt growth configurations // J. Cryst. Growth. — 2000. — 211. — P. 34—42.
10. Lyubimov D. V., Lyubimova T. P., Meradji S., Roux B. Vibrational control of crystal growth from liquid phase // J. Cryst. Growth. — 1997. — 180. — P. 648—659.
11. Salnikov N. N., Klimenko Yu. A., Ladikov-Roev Yu. P., Cheremnykh O. K. On conditions of realization of flat interface in cylindrical ampule in Bridgeman setup // J. Automation and Inform. Sci. — 2003. — 35, N 9. — P. 27—39.

Стаття надійшла до редакції 02.09.13

Ю. П. Ладиков-Роев, О. К. Черемных

ВЛИЯНИЕ ВЫСОКОЧАСТОТНОЙ ВИБРАЦИИ НА ИЗМЕНЕНИЕ ФРОНТА КРИСТАЛЛИЗАЦИИ В ЦИЛИНДРИЧЕСКОЙ АМПУЛЕ БРИДЖМЕНА

Исследуется влияние высокочастотной вибрации на устойчивость фронта кристаллизации в ампуле Бриджмена в условиях космического эксперимента. Найден возможный вид возмущений фронта кристаллизации.

Yu. P. Ladikov-Roev, O. K. Cheremnykh

INFLUENCE OF HIGH-FREQUENCY VIBRATION ON CRYSTALLIZATION SURFACE IN CYLINDRICAL BRIDGEMAN'S AMPULE

The influence of the high-frequency vibration on crystallization front stability in the space experimental conditions was investigated. The study was performed with the use of the vertical Bridgman method. A possible type of crystallization front perturbations was obtained.